

柔構造樋門における即時沈下量に関する一考察

A study on settlement under the flexible sluiceway

(株) 北海道水工コンサルタント	○正会員	堀江 秀亮 (Hideaki Horie)
正会員	加村 邦茂 (Kunishige Kamura)	
(株) ジオテック	坂下 泰夫 (Yasuo Sakashita)	
	宮内 武 (Takeshi Miyauchi)	

1. はじめに

土を材料とした河川堤防を横断して設けられる樋門は、それ自体が堤防としての機能を有している必要がある。しかし、樋門の函体と堤体土との剛性の相違から函体と周辺土が密着し難く、特に地盤沈下の大きい軟弱地盤における支持杭基礎の樋門においては、堤体と函体との空洞化や周辺部のゆるみ等が発生し、堤防の弱点部となっていた。

このため平成10年度に、「柔構造樋門設計の手引き」(以下、手引きといふ)が発行され、従来の「支持杭による剛支持方式」から、基礎地盤の沈下に追従し空洞化やゆるみを軽減させる「直接基礎を主体とする柔支持方式」に転換し、全国的に「柔構造樋門」として設計・施工されてきた。

北海道の中小河川においては、平成11年度から柔構造樋門が取入れられようになつた。

しかし、施工された小規模な柔構造樋門の即時沈下量については、計算値と実測値に相違がみられ、計算値が大きくなる傾向が顕著となつておらず、設計・施工上の問題点として提起されつつある。

本報告では、最近施工された余市川の樋門を例に①施工規模 ②埋戻し土の荷重設定 ③沈下対象層および変形係数の決定方法 が即時沈下量に与える影響に対して検討、さらにはFEM解析による比較検討を行つた。

本報告では、これらと実測沈下量との比較から、小規模な樋門の特徴を踏まえて手引きの解析方法の問題点を考察した。

2. 即時沈下(計算値)の算出方法(手引きの方法)

即時沈下量は、地盤を弾性体とみなして弾性変位量として求めるもので、以下に示す。

この式は、堤体を等価な複数の帯状荷重に近似して沈下量を求めるものである。(図2.1参照)

$$S_{ix} = \sum_{i=1}^n \frac{-3a_i \cdot q_i}{E_m \cdot \pi} \log \sin \left(\tan^{-1} \frac{a_i}{H} \right) \cdot \left\{ 1.0 - \frac{0.75}{\pi} \left[\left(1 + \frac{x}{a_i} \right) \log \left| 1 + \frac{x}{a_i} \right| + \left(1 - \frac{x}{a_i} \right) \log \left| 1 - \frac{x}{a_i} \right| \right] \right\} \quad (1)$$

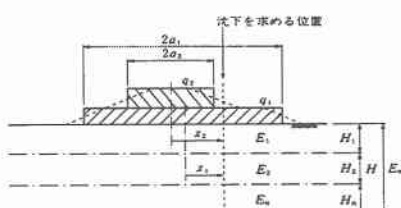


図2.1 即時沈下の計算モデル

ここに、

Six : 函軸方向 x の位置の基礎地盤の即時沈下量 (m)

q_i : 盛土荷重 (KN/m^2)

E_m : (2) 式による地盤の換算変形係数 (KN/m^2)

$2ai$: 載荷幅 (m)

H : 即時沈下の影響を考慮する深さ (m)

n : 等分布荷重数

x : それぞれの等分布荷重のセンターからの距離 (m)

(1) 式における地盤の換算変形係数 E_m は、土層が深さ方向に変化する場合、特に軟弱層が存在する場合などの多層地盤では、次式によりその影響を考慮に入れ、換算変形係数 E_m を算出する。

$$E_m = \frac{\log \frac{(B + 2h_n \cdot \tan \theta)L}{(L + 2h_n \cdot \tan \theta)B}}{\sum_{i=1}^n \frac{1}{E_i} \log \frac{(B + 2h_i \cdot \tan \theta)(L + 2h_{i-1} \cdot \tan \theta)}{(L + 2h_i \cdot \tan \theta)(B + 2h_{i-1} \cdot \tan \theta)}} \quad \dots \dots \dots (2)$$

ここに、

E_m : $B \neq L$ のときの地盤の変化を考慮に入れた換算変形係数 (KN/m^2)

B : 載荷幅 (m)

L : 載荷奥行き (m)

h_n : 影響を調べなければならない深さ (m) で、載荷幅 B の3倍以上とする。

hi : 細分する各層底面までの深さ (m)

Ei : 細分した第 i 番目の層の変形係数 (KN/m^2)

θ : 荷重の分散角度で、 $\theta = 30^\circ$ とする。

3. 余市川における検討

本検討において対象としたのは、小樽土木現業所管内で動態観測を実施した余市川の2樋門である。

W樋門は平成13年3月末、A樋門は平成14年3月末に完成したものである。(表3.1参照)

表3.1 検討対象樋門 (単位:m)

	W樋門	A樋門
樋門長	23.4	44.6
本体長	15.8	38.5
本体断面	$\phi 1.0$	1.0×1.0

(1) 施設規模が沈下に与える影響

即時沈下量を計算する場合、地盤の換算変形係数を(2)式により求めるとされているが、施工規模(載荷幅 B と載荷奥行き L)に影響を受ける。ここでは、W樋門において、 B と L が換算変形係数に与える影響について検討を行つた。

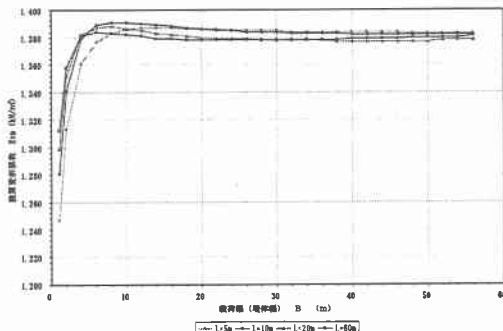


図 3.1 (1) 載荷幅 (B) の換算変形係数に与える影響

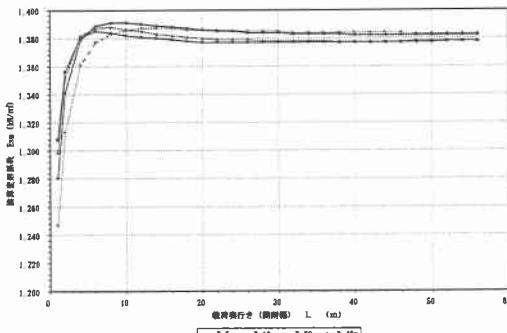


図 3.1 (2) 載荷奥行き (L) の換算変形係数に与える影響

図 3.1(1), (2)から、B, Lとも5m程度以下では換算変形係数が小さく計算される傾向があり、それ以上は、一定の値となっている。

(2) 荷重設定が沈下に与える影響

手引きでは、「事前載荷重の有無にかかわらず、函体施工後に行う床付け面より上の全荷重を用いて算出する」とされている。しかし、掘削深さ以浅の土の押え効果によって即時沈下量が低減することは知られている。本検討では、手引きの方法によるケース1に加え、押え効果として即時沈下量計算に用いる埋戻し土の有効重量を、排土重量の1/2を減じたケース2(押え効果①)と排土の全重量を考慮したケース3(押え効果②)を加え、W樋門で比較検討を行った。



図 3.2 (1) ケース1 手引きの荷重

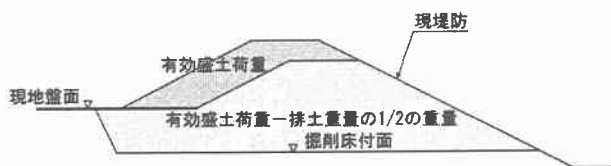


図 3.2 (2) ケース2 排土重量の1/2を減じた荷重(押え効果①)

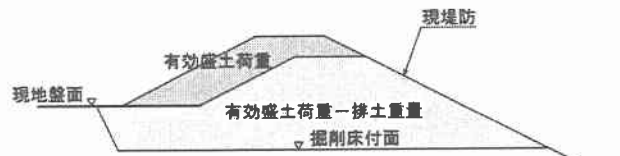


図 3.2 (3) ケース3 排土重量を減じた荷重(押え効果②)

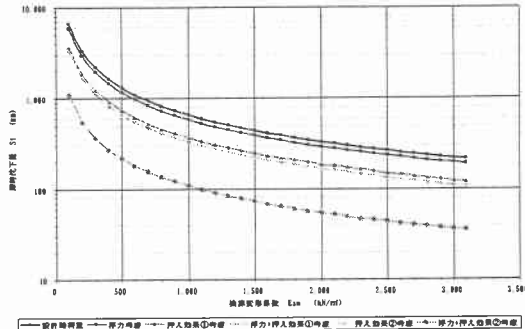


図 3.2 (4) 荷重が沈下に与える影響

(3) 沈下対象層および変形係数の違いが沈下に与える影響

沈下に与える影響

手引きでは、「樋門の設計に考慮する即時沈下量の算定は、即時沈下が卓越する土層までの深さを対象とした」とされている。

道内で施工された柔構造樋門の実績調査によると、沈下対象層は軟弱地盤全てとして設計されているものが60%、掘削幅の3倍までが17%となっている。本検討においては、沈下対象層厚について上記ケース2の検討を行った。

また計算値は、地盤変形係数(E)を求める方法によって変化することから、次の3つの方法から得られた各土層の変形係数Eを用いて算出し比較した。

- ① ポーリング孔内水平載荷試験(LLT)で測定した変形係数: E_b
- ② 一軸圧縮試験: E_{50}
- ③ 標準貫入試験のN値より推定: $E_n = 700N$

表 3.3 (1) W樋門の換算変形係数

各土層の 数値基準 適用	Din. No. 1 即時沈下量 (mm)	換算変形係数 E_0 (kN/m²)		
		1,361	1,259	1,362
即時沈下量				
浮力考慮	489	480	398	
浮力考 慮 + 押 え効果① 考慮	433	433	300	
浮力考 慮 + 押 え効果② 考慮	273	274	190	
浮力考 慮 + 押 え効果③ 考慮	245	146	170	
浮力考 慮 + 浮 力考 慮	81	81	56	
浮力考 慮 + 浮 力考 慮 + 押 え効果① 考慮	81	81	56	
標準貫入試験				
浮力考慮	2,141	2,170	-	
浮力考 慮 + 浮 力考 慮	311	315	-	
浮力考 慮 + 浮 力考 慮 + 押 え効果① 考慮	275	279	-	
浮力考 慮 + 浮 力考 慮 + 押 え効果② 考慮	174	174	-	
浮力考 慮 + 浮 力考 慮 + 押 え効果③ 考慮	159	158	-	
浮力考 慮 + 浮 力考 慮 + 押 え効果④ 考慮	51	52	-	
浮力考 慮 + 浮 力考 慮 + 押 え効果⑤ 考慮	51	52	-	
即時沈下量 + 基本沈下量				
浮力考慮	2,099	-	-	
浮力考 慮 + 浮 力考 慮	320	-	-	
浮力考 慮 + 浮 力考 慮 + 押 え効果① 考慮	283	-	-	
浮力考 慮 + 浮 力考 慮 + 押 え効果② 考慮	179	-	-	
浮力考 慮 + 浮 力考 慮 + 押 え効果③ 考慮	160	-	-	
浮力考 慮 + 浮 力考 慮 + 押 え効果④ 考慮	43	-	-	
浮力考 慮 + 浮 力考 慮 + 押 え効果⑤ 考慮	53	-	-	

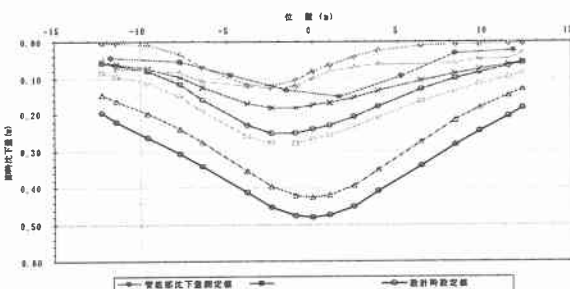


図 3.5(1) 変形係数算出方法の違いによる比較図

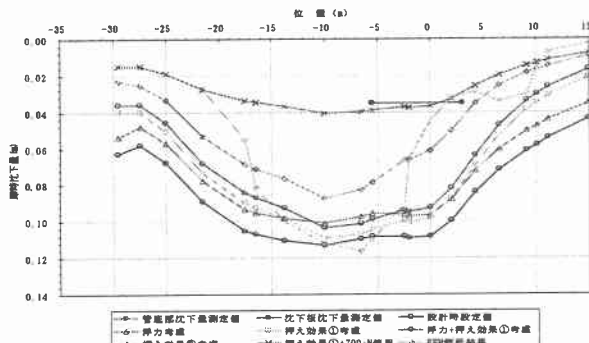


図 3.5(2) 変形係数算出方法の違いによる比較図

図 3.5(1), (2) によると、実測沈下量は種々の検討結果の最小値に近い値が得られている。

4. 考察

北海道で、平成 12~13 年度に施工した柔構造樋門の実測調査結果（60 箇所）によると、載荷幅は全て 10m 以下で平均長 3.9m、載荷奥行きの平均長は 16m で最小長のものは 6.3m となっている。

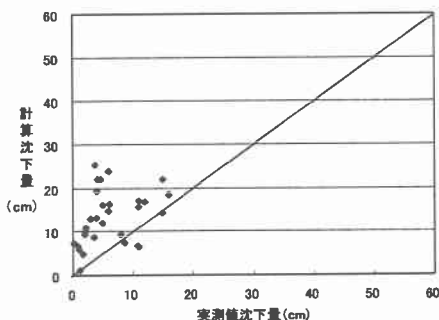


図 4.1 北海道の中小河川での実測値

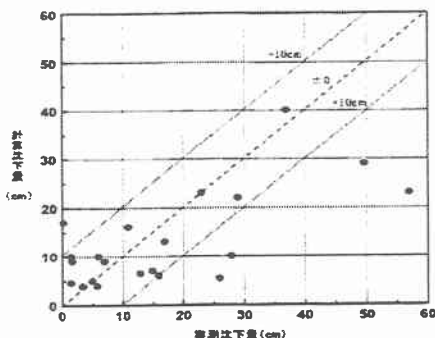


図 4.2 H10 パイロット事業での実測値

図 4.1 は、北海道における実測調査結果に基づき、設計即時沈下量と実測沈下量を比較したものである。

また図 4.2 は、平成 10 年度に全国で実施した柔構造樋門のパイロット事業における計算沈下量と実測沈下量とを比較したものである。

図 4.1, 2 によると、設計即時沈下量が実測沈下量よりも大きくなる傾向が多いと判断できる。

このことは、これまでの検討のように①施工規模が小さい場合は換算変形係数が小さくなり、即時沈下量が大きく計算される。②手引きによる方法では埋戻し土も全応力による全荷重として沈下計算される。③変形係数の決定に際して小さ目の設定になりやすく、沈下計算値が大きくなることなどが影響していると想定される。

以上のことから、中小河川に設置される樋門の即時沈下量については、小規模の樋門の特徴を踏まえ、次のことを注意して解析していく必要がある。

①施設が小規模な樋門は、載荷幅・載荷奥行きの設定によって即時沈下量に大きな影響を及ぼす変形係数が、大規模な樋門に比べて大きく変化することが判明したため、変形係数の決定も含め、あまり小さ目な設定を避けるように注意しなければならない。

②既設堤防を開削する場合は、掘削深さ以浅の土の押え効果を評価し、排土重量を減じるような荷重を考慮することも今後考えていく必要があると思われる。

③FEM 解析は沈下解析の有効な手段と考えられる。ただし、現状では影響する因子の多い盛土の変形挙動を完全に説明できるまで至っていないため、絶対的なものではない。

5. まとめ

今後は、様々な規模の数多くの樋門の実測データを収集し、より精度の高い即時沈下量を求める手法を提案できるように研究を進めていきたい。

謝 辞

最後に、柔構造樋門の調査に対して協力して頂いた北海道小樽土木現業所余市出張所の関係者に対して、心から謝意を表します。

【参考文献】

- (財) 国土開発技術センター編：柔構造樋門設計の手引き、平成 13 年 5 月
- (社) 日本道路協会：道路土工 軟弱地盤対策工指針、昭和 61 年 3 月
- 建設省関東地方建設局河川部河川工事課：河川構造物設計の手引き（案）、平成 12 年 3 月
- 建設省九州地方建設局河川部河川工事課：樋門の設計要領（案）、平成 11 年 4 月
- (株) 建設産業調査会：建設基礎・地盤設計施工便覧、平成 4 年 4 月
- (財) 全国建設研修センター：樋門・樋管の概略設計、平成 14 年度